

## II-107 dune bedの流砂量に関する一考察

京都大学工学部 正員 中川 博次  
 京都大学大学院 学生員 ○辻本 哲郎  
 京都大学大学院 学生員 本部 和彦

1. まえがき 流砂量と平均水理量(河床剪断応力、平均流速等)の関係は、河床波の存在によって大きく変化することが指摘されている。<sup>1)</sup> 移動床現象の大さな特徴は、現象が流水特性、河床形状、流砂の相互作用によるところ<sup>2)</sup>、このため現象を普遍的、統一的に論ずることが困難になっている。ここでは、問題を河床形状と流砂量との相互作用という点に絞り、Bagnold<sup>3)</sup>が考案したエネルギーと仕事のバランスによる考え方を「通常進行する2次元三角形状に近似させたdunes又はripplesに適用してその流砂量特性を考察し、従来の実験データを用いて検討した。

2. dune bed の掃流砂量 すなはち20世紀の初め Exnerが砂丘における sand dunes の進行速度が流砂量に比例し dune 波高に反比例することを見出したと言わゆるが<sup>4)</sup>、dunes が多く実験観察によつてそういう状態が認められていて、それが形状不変のまま一定の速度で進行するとき(河床波の「平衡状態」)、それを2次元三角形状に近似させると次のようないくつかの関係式が成立することが広く認められていく。

$$q_B \approx \frac{1}{2} \Delta L (1-\lambda) / (L/U_w) = \frac{1}{2} U_w \Delta (1-\lambda) \quad (1)$$

ここで  $q_B$ : 掫流砂量,  $\Delta, L, U_w$ : dunes の波高、波長および進行速度、 $\lambda$ : 空隙率である。Simons<sup>4)</sup>は、最近の測深技術の発達により容易に得られる測深データと(1)式を用いて流砂量が得られることを実験的に確かめた。又、(1)式において、 $U_w \Delta$  が力学的に決める量であるしながらも、結局決める量は実験式<sup>5)</sup>としたが、相当のばらつきが見られる。

3. モデル 図-1のような dunes のモデルを考えると、一波長内で重力、摩擦力にさらされて時間になされ仕事は、

$$dW = \int_0^{(L-\Delta \cot \phi)/\cos \theta} (1-\lambda)(\rho - \rho_f) d\lambda dy_0 g (\mu' \cos \theta + \sin \theta) \cdot L = \frac{(1-\lambda)(\rho - \rho_f) g (\mu' + \tan \theta)}{2} (L - \Delta \cot \phi)^2 dy_0 \quad (2)$$

である。ここに  $\rho, \rho_f, g, \phi, \mu'$  はそれぞれ砂、流体の密度、重力加速度、砂の静止摩擦角および動摩擦係数である。その他の記号は図-1に準拠する。一方、一波長において流れから河床に供給されるエネルギーは1秒時間当たり、水の失う位置エネルギー  $\int_0^L \rho g I \int_0^h u dy dx dt$  から砂の移動限界での剪断応力  $\tau_c$  に対して定義した "energy of concealment"  $\tau_c h$  を減じ、これは Bagnold の定義した "efficiency"  $e$  を考慮すると、

$$dW = e \int_0^L (\tau_c - \tau_c) u dx dt \approx e (\tau_c - \tau_c) UL dx dt \quad (3)$$

における。ここに  $I$ : エネルギー勾配、 $h$ : 水深、 $U$ : 平均流速である。なお "efficiency" については、とくに dunes, ripples の存在する場合、その背後に生じる剥離渦によるエネルギー損失を評価するのが合理的であると考え、Engelund<sup>6)</sup>にならって dune 下流斜面での急拡損失の考え方を用いると、

$$e = e_f (\tau_c h - \rho U^3 \cdot \alpha^2 / 2 L h) / \tau_c h \quad (4)$$

となる。但し、 $e_f$  は平坦河床において一様な流れ自体によって失われる分に対するものである。ところて、  
 $U_w = dx/dt$ 、上流斜面において  $dy/dx \approx \tan \theta$  であるから、(2), (3) および (4) 式より、

$$\frac{U_w h}{u_* \alpha} = \frac{2 C (1 - \frac{1}{2} C^2 \alpha^2)}{(1-\lambda)(\mu' + \frac{\Delta/L}{\alpha}) (1 - \frac{\alpha}{2} \cot \phi)} \frac{\tau_c}{\tau_c - \frac{\alpha}{2} \cot \phi} \quad (5)$$

となる。ここで  $C = U/U_*$ 、 $\alpha = U_*^2 / \{(\eta/\rho - 1) g d\}$ 、 $\tau_c = \tau_c / (\rho - \rho_f) g d$ 、 $d$ : 砂粒径、 $U_*$ : 摩擦速度である。又、(1)式より、流砂量の無次元表示は、

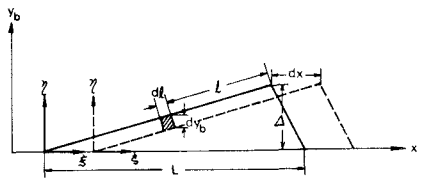


図-1 記号図

$$\frac{q_B}{\sqrt{(0/P-1)qd^3}} = \frac{C(1 - \frac{1}{2}C_L^2\frac{A^2}{L^2})(1 - \frac{\tau_{*c}}{\tau_*})}{(\mu' + \frac{\Delta/L}{1-\frac{1}{2}\cot\phi})(1 - \frac{A}{L}\cot\phi)} \tau_*^{3/2}$$

となる。Cは流れの抵抗を示すから明らかに $\tau_*$ および粗度形状を示す $\Delta/L$ ,  $A/L$ の関数であり、したがって $(U_w/U_*) \cdot (h/d)$ ,

$q_B/\sqrt{(0/P-1)qd^3}$ はともに $\tau_*$ ,  $\Delta/L$ ,  $A/L$ の関数として表示される。

$\Delta/L$ ,  $A/L$ は従来 $\tau_*$ あるいは $\tau_*$ と他の水理量( $U_w d/L$ ,  $h/d$ )の関数と考えられ、多くの実験にもとづく経験式が提案されることは多いが、これらは相当大きく、力学的に合理的なものは未だ見出されていない。今お(6)式で $\Delta \rightarrow 0$ としたものは、平坦河床に対するBagnoldの流砂量公式に一致し、(6)式は河床波の存在によって流砂量が平坦河床に対して予測されるものよりかなり小さくなることを示し、逆に言えば“efficiency”的考慮は有効掃流力をエネルギー勾配分割で考慮したのと同値であり、一方としてはこのようにエネルギーの効率を考えた方が物理的に理解しやすい。

また、dunesの発生、発達、減衰に対する $\Delta/L$ ,  $A/L$ のモデル化によると表示がされれば、剪断力の増加とともに掃流力の増加率の増大・減少が示され、河床形状と流砂量特性を明確に表現できる。

#### 4. 従来の実験データの整理

図-2は、(1)式によって計算された $q_B$ と測定された統一流砂量 $q_T$ とを比較したもので $1-\lambda=0.7$ とした。流砂量の大きさについては、浮流砂量の増加のため実測値が大きく、又、砂粒の小さいものについては Rippleの生じる場合が多くその3次元性のためばらつきが大きいことが認められる。図-3は、 $(U_w/U_*)(h/d)$ の $\tau_*$ による変化であるが、異なる実験者、実験水路の実験値にもかかわらず、値のはらつく範囲は大きいものの $U_w$ の値が非常に小さくデータが不正確と考えられる範囲を除いては一定の傾向が見られる。 $\Delta/L$ ,  $A/L$ ,  $C$ が $\tau_*$ に対し実質的なパワーを持たぬ(0次のパワー)とすれば、(5)式で示される1次のパワーが図-3において認められる。図-4は、 $\Delta/L$ ,  $A/L$ ,  $C$ ,  $\tau_*$ の測定値から(5)式によって得た $(U_w/U_*)(h/d)$ を実測値と比較したものである。但し平坦河床の流砂量公式より、 $e_f = 0.56$ ,  $\tau_{*c} = 0.05$ ,  $\tan\phi = 1.0$ ,  $\mu' = 0.8$ とした。これによると、相当のはらつきが見られるが、これはdunesの中でも3次元性のため抵抗特性が複雑なnipplesが併存するもの、抵抗特性が激変し、又支配的形状特性の走りがないtransitionへの移行段階にあるものも含むたれど、平均的でdune河床に限り、実験値の精緻を見込めば、(5)式(6)式によって $(U_w/U_*)(h/d)$ ,  $q_B/\sqrt{(0/P-1)qd^3}$ が推定されるものと思われる。

5. あとがき  $C$ ,  $\Delta/L$ ,  $A/L$ が推定されれば流砂量が $\tau_*$ に対して推定されることを示したが、 $C$ ,  $\Delta/L$ ,  $A/L$ も移動床において知りたい未知量<sup>2)</sup>これから力学的に合理的な式で与えられたいのが望まれる。とくに $\Delta/L$ に関しては水深スケールのそれによると速度プロファイルのいずれの周期性による説明があるが<sup>6)</sup>、河床形状によるせん断力分布によつて発生時波長の保持を考慮すれば初期条件依存性が大きいと思われる、これらの間の関連が盲点となつてゐるところである。今後これらを踏まえて河床波形状をより明確にし、又、河床波の発達段階の非一様、非定常性場に対する形状と流砂現象の相互作用作用を砂の移動挙動の面からも追求していくつもりである。

<参考文献> 1) Carstens & Altinbilek; Proc. ASCE, HY, 1972, 2) Bagnold; Geol. Survey Prof. Paper, 1966, 3); , 1948, 4) Simons, Richardson & Nordin; Geol. Survey Prof. Paper, 1965, 5) Engelund; Proc. ASCE, HY, 1966, 6) Yalin; Proc. IAHR, 1971, 7) Guy, Simons & Richardson; Geol. Survey Prof. Paper, 1965, 8) Stein; J. Geophys. Res., 1965, 9) Grigg; Proc. ASCE, HY, 1970

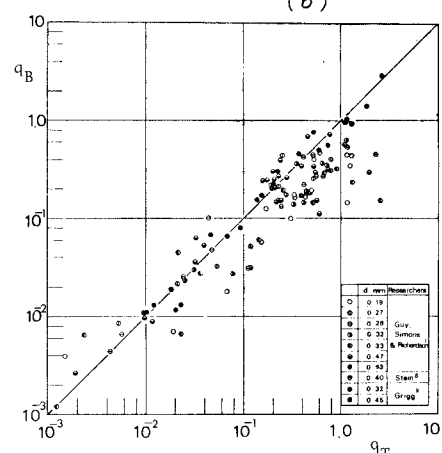


図-2 (1)式の検討

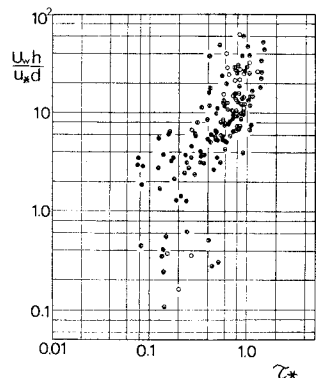


図-3 dune speed

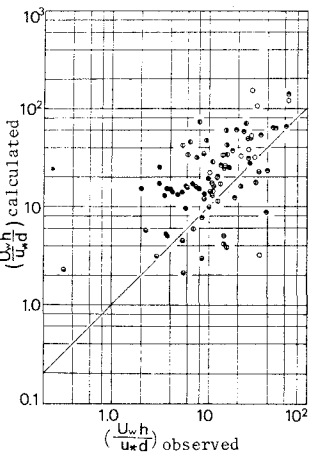


図-4 (5)式の検討